

# Angular correlation as a novel probe of supermassive primordial black holes

T. Shinohara, T. Suyama, T. Takahashi, 2103.13692

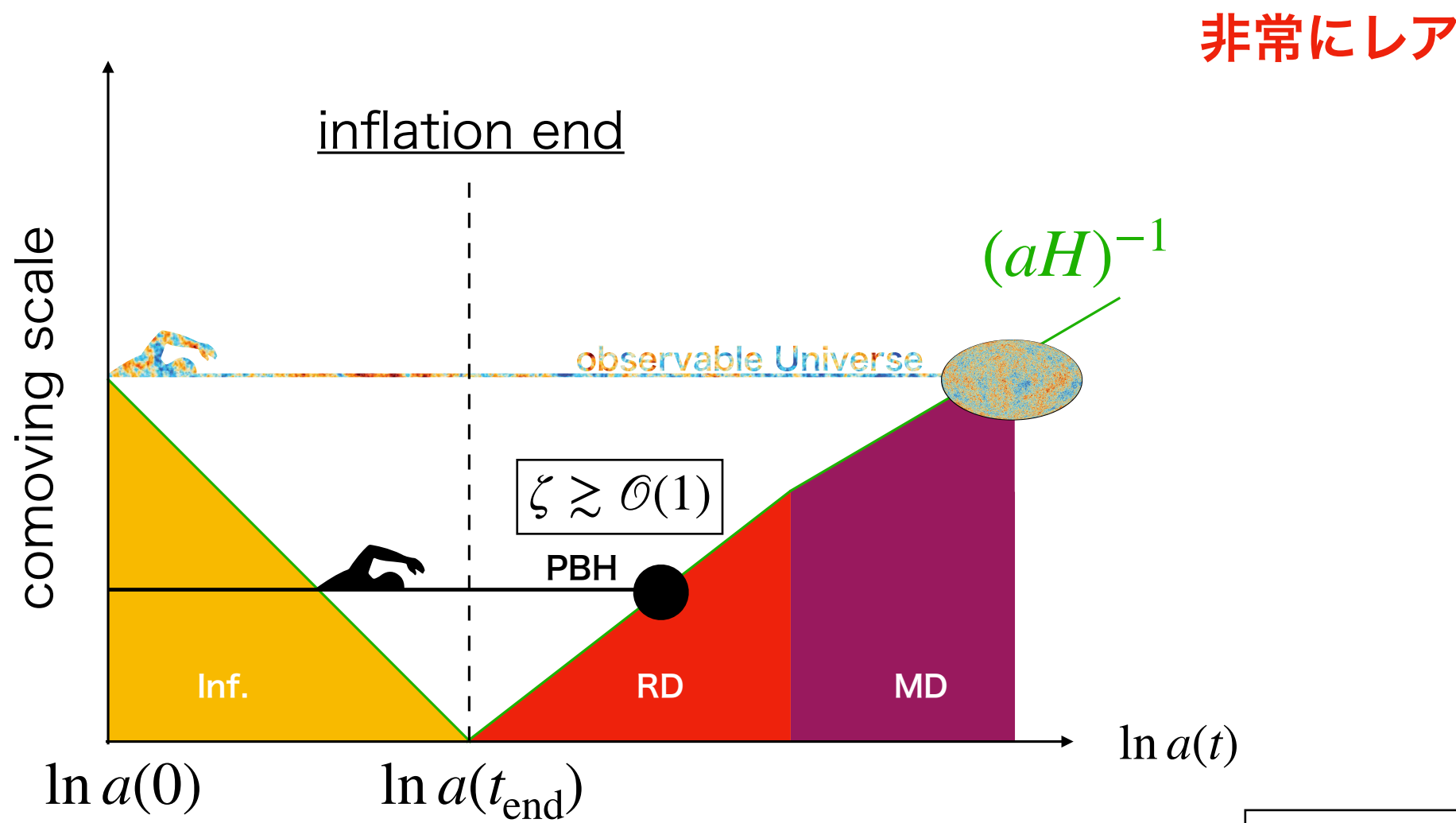
篠原拓見（佐賀大学）

[ in collab. : 須山輝明（東京工業大学）、高橋智（佐賀大学） ]

# 導入

- ・原始ブラックホール (primordial black hole : PBH)

- 形成時期が宇宙の極初期( <<< 宇宙の晴れ上がり)
- いろんな質量を持つ ( ← 観測で制限 )
- small-scale( $\approx$  horizon scale)における $\mathcal{O}(1)$ 以上の曲率ゆらぎが種



# 導入

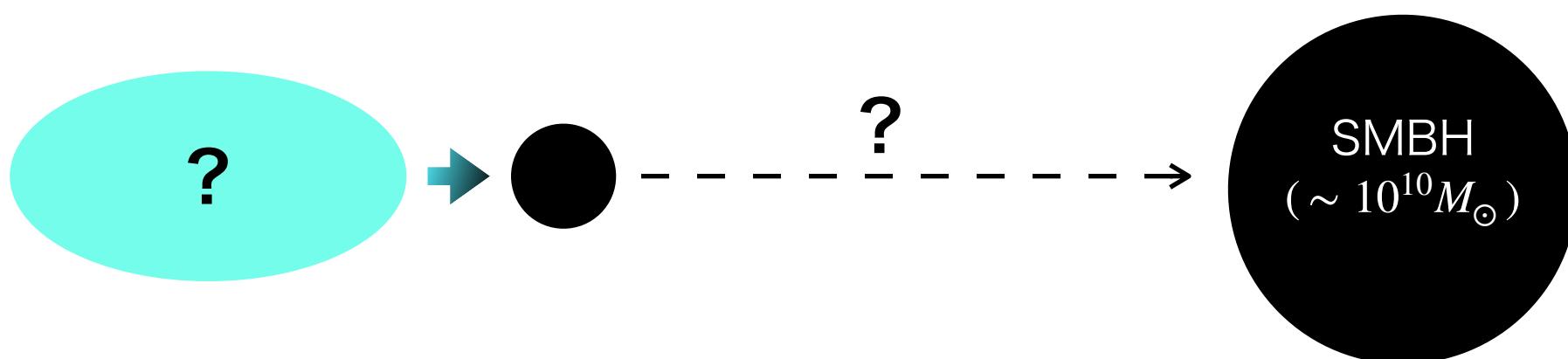
- 高赤方偏移のクエーサー

( $5 \lesssim z \lesssim 7$ )      非常に明るい

→ 超巨大ブラックホール(SMBH)の降着  
 $(10^7 M_\odot - 10^{10} M_\odot)$

標準的

$\sim 10^{10} M_\odot$  at  $z \sim 7$  …… どうやって作るか?  
(宇宙年齢~8億年)



# 導入

- ・ そういうえば、、、、

PBH …… 「宇宙初期で作られる」、「いろんな質量を持つ」

→ Pop IIIよりも重い種 or SMBHそのもの

$$(10^4 M_\odot \lesssim M_{\text{PBH}} \lesssim 10^{10} M_\odot)$$



$$\zeta \gtrsim \mathcal{O}(1)$$

# 導入

- ・やりたいこと

→ SMBHのPBH起源説検証

- ・やったこと

→ PBHの角度相関関数を評価

(検証のための道具)

# Supermassive PBHs生成モデル

- ・流れ

1. 興味 → 高赤方偏移のSMBH
2. PBH質量 →  $10^4 M_{\odot} \lesssim M_{\text{PBH}} \lesssim 10^{10} M_{\odot}$
3. 観測制限 → CMBスペクトルの $\mu$ -distortion
4. モデル設定 →
5. 解析 →

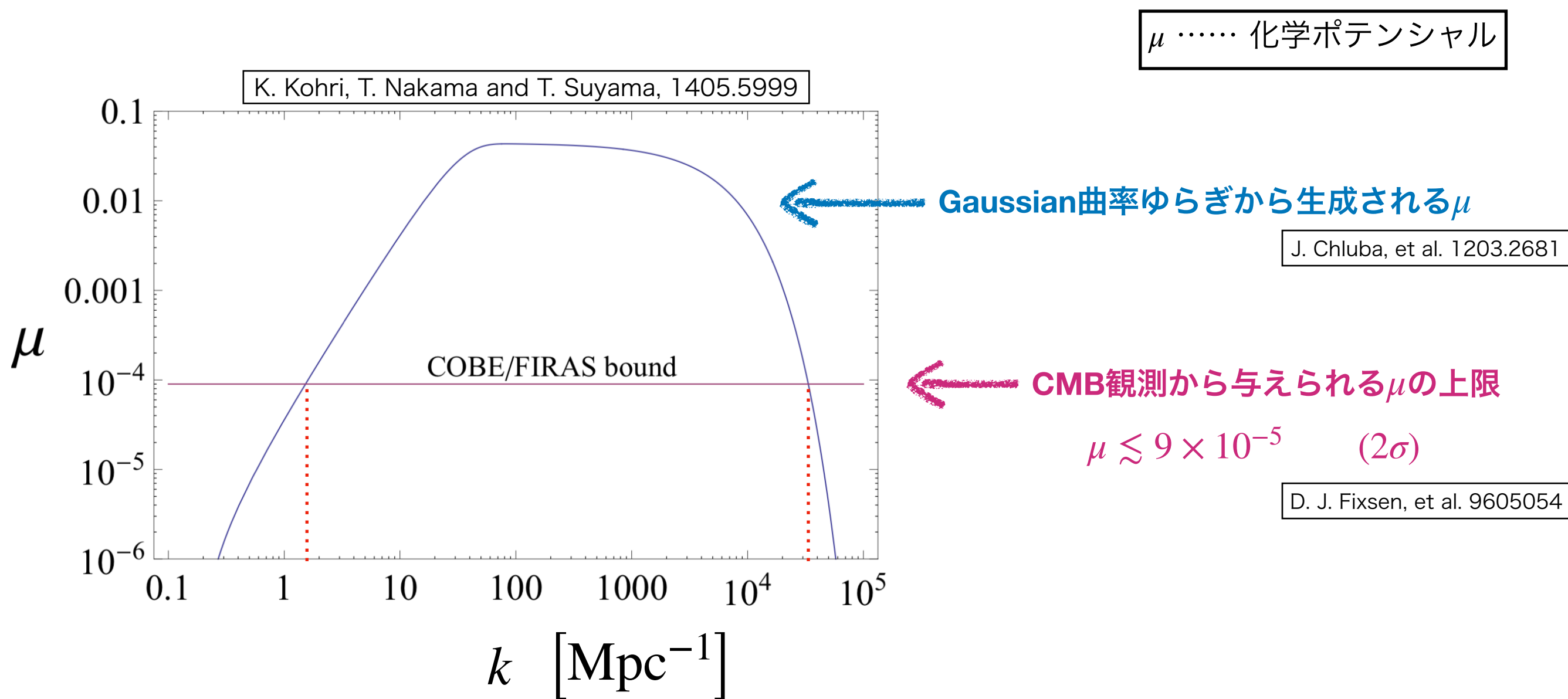
# Supermassive PBHs生成モデル

- ・流れ

1. 興味 → 高赤方偏移のSMBH
2. PBH質量 →  $10^4 M_{\odot} \lesssim M_{\text{PBH}} \lesssim 10^{10} M_{\odot}$
3. 観測制限 → CMBスペクトルの $\mu$ -distortion  
化学ポテンシャル
4. モデル設定 →  
⇒ (Planck分布  $\mapsto$  Bose-Einstein分布)
5. 解析 →

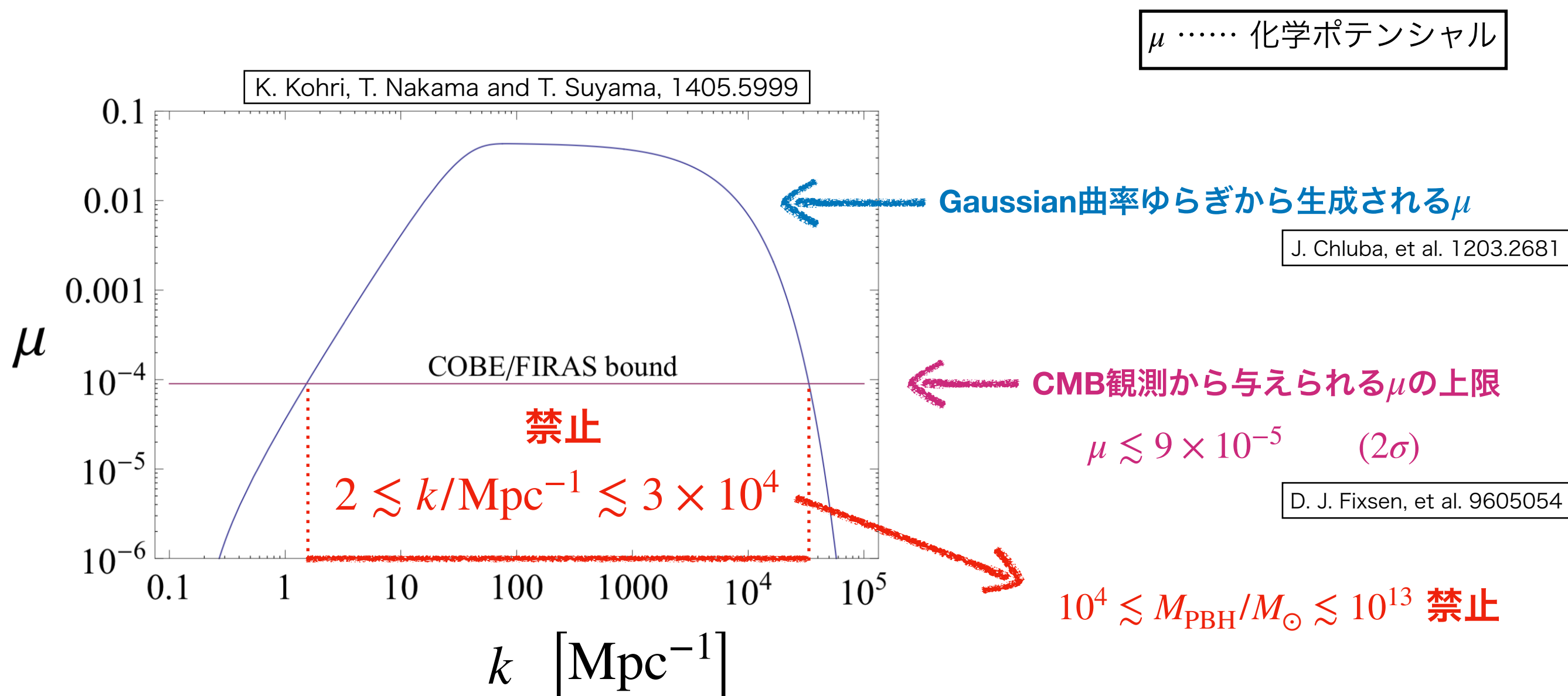
# Supermassive PBHs生成モデル

- 宇宙マイクロ波背景放射(CMB)の $\mu$ -distortionからの制限



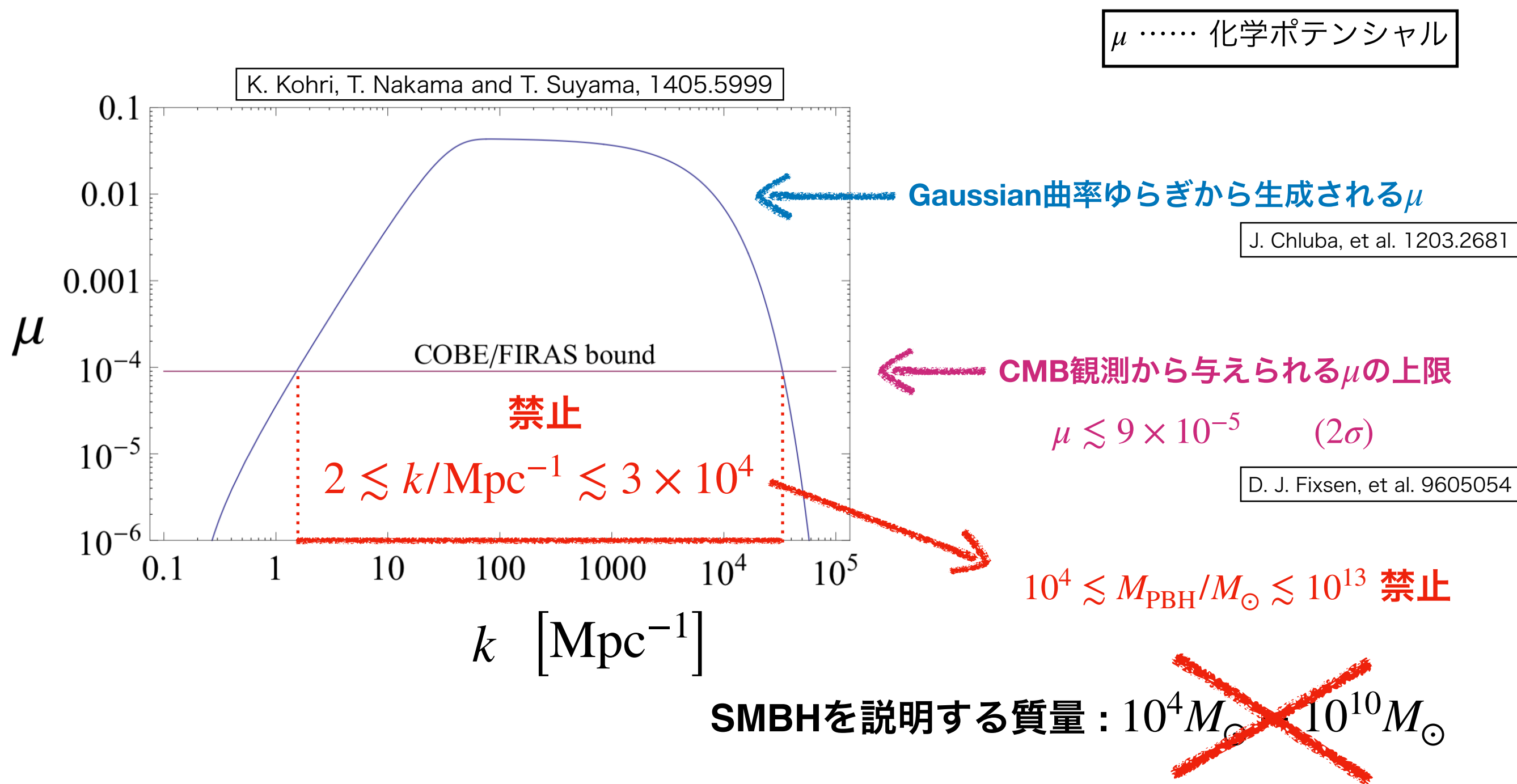
# Supermassive PBHs生成モデル

- 宇宙マイクロ波背景放射(CMB)の $\mu$ -distortionからの制限



# Supermassive PBHs生成モデル

- 宇宙マイクロ波背景放射(CMB)の $\mu$ -distortionからの制限



Gaussian曲率ゆらぎ起源のSM-PBH形成シナリオは排除される !!

# Supermassive PBHs生成モデル

- Gaussian曲率ゆらぎがダメなら…

→ non-Gaussian曲率ゆらぎ

(e. g.,  $f_{\text{NL}}$ ,  $g_{\text{NL}}$ ,  $\tau_{\text{NL}}$ )

既存のSM-PBH生成モデル

共通する特徴

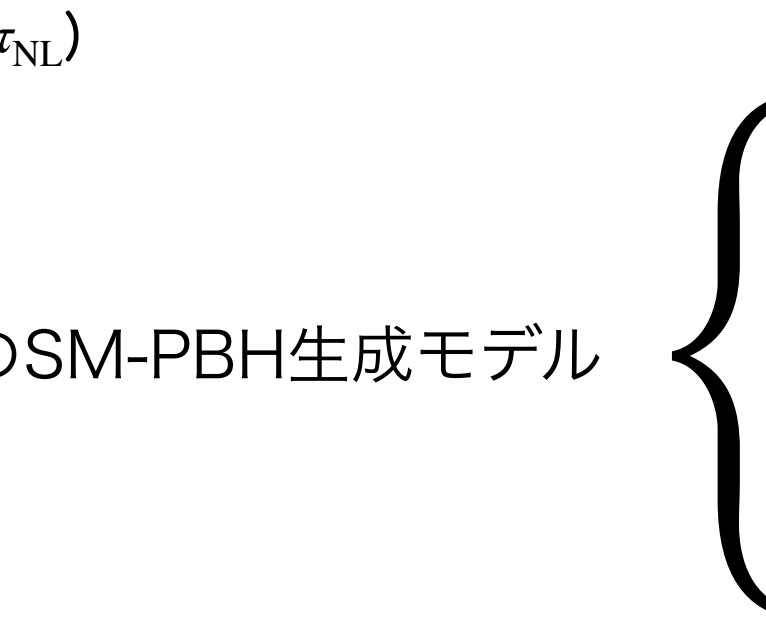
- spectator field(inflatonとは異なる軽い自由スカラー場)の導入
- superhorizonのspectator fieldがinflation中に確率的運動
- non-Gaussian曲率ゆらぎ  $\gtrsim \mathcal{O}(1)$  or  $\approx 0$  (大抵0)

踏襲する

- T. Nakama, T. Suyama and J. Yokoyama, 1609.02245
- F. Hasegawa & M. Kawasaki, 1711.0090
- M. Kawasaki & K. Murai, 1907.02273
- N. Kitajima, F. Takahashi, 2006.13137

:

highly non-Gaussianなら  
制限回避



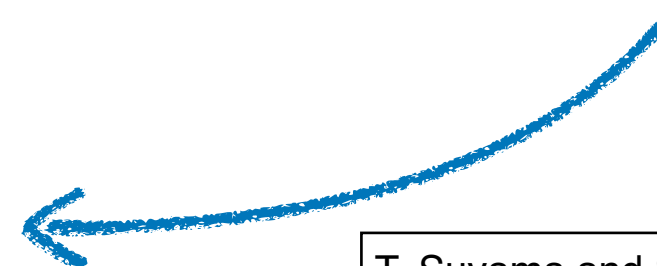
# Supermassive PBHs生成モデル

- spectator fieldの導入  
(inflatonとは異なる軽い自由スカラー場)

→ small-, large-scaleのモードが相関を持つタイプのnon-Gaussian  
(e.g., local-type)



形成されるPBHがクラスタリング



T. Suyama and S. Yokoyama, 1906.049582

S. Young and C. T. Byrnes, 1503.01505

Y. Tada and S. Yokoyama, 1502.01124



相関関数を評価

# Supermassive PBHs生成モデル

- Gaussian曲率ゆらぎがダメなら…

→ non-Gaussian曲率ゆらぎ

(e. g.,  $f_{\text{NL}}$ ,  $g_{\text{NL}}$ ,  $\tau_{\text{NL}}$ )

既存のSM-PBH生成モデル

共通する特徴

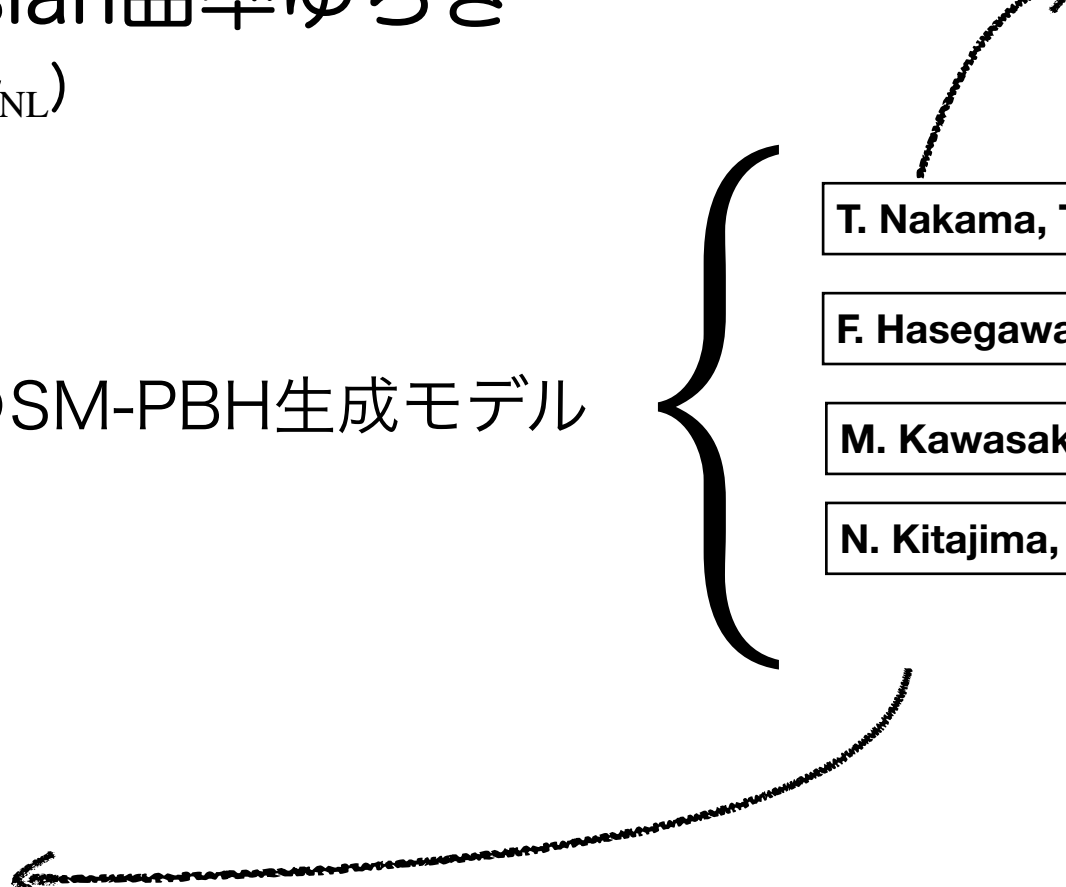
- spectator field(inflatonとは異なる軽い自由スカラー場)の導入
- superhorizonのspectator fieldがinflation中に確率的変動
- non-Gaussian曲率ゆらぎ  $\gtrsim \mathcal{O}(1)$  or  $\approx 0$  (大抵0)

踏襲する

- T. Nakama, T. Suyama and J. Yokoyama, 1609.02245
- F. Hasegawa & M. Kawasaki, 1711.0090
- M. Kawasaki & K. Murai, 1907.02273
- N. Kitajima, F. Takahashi, 2006.13137

:

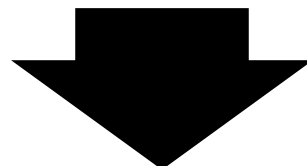
highly non-Gaussianなら  
制限回避



# Supermassive PBHs生成モデル

- superhorizonのspectator fieldがinflation中に確率的変動

→ Langevin equation (確率的運動を記述)

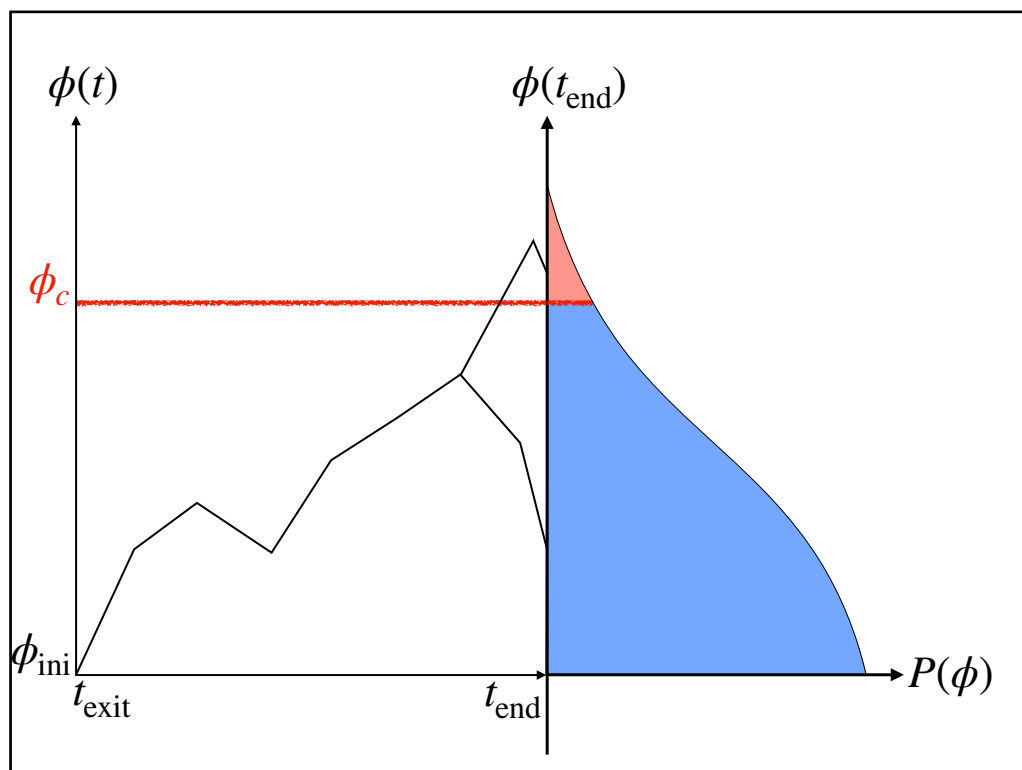


$$\dot{\phi}(t) = -\frac{m^2}{3H} \phi(t) + \xi(t)$$

古典的な運動  
(Gaussian noise)

確率的な運動  
(Gaussian noise)

$\phi$  の確率分布関数 = Gaussian



( $\phi_c$  ..... 曲率ゆらぎ生成についての閾値)

# Supermassive PBHs生成モデル

- Gaussian曲率ゆらぎがダメなら…

→ non-Gaussian曲率ゆらぎ

(e. g.,  $f_{\text{NL}}$ ,  $g_{\text{NL}}$ ,  $\tau_{\text{NL}}$ )

既存のSM-PBH生成モデル

共通する特徴

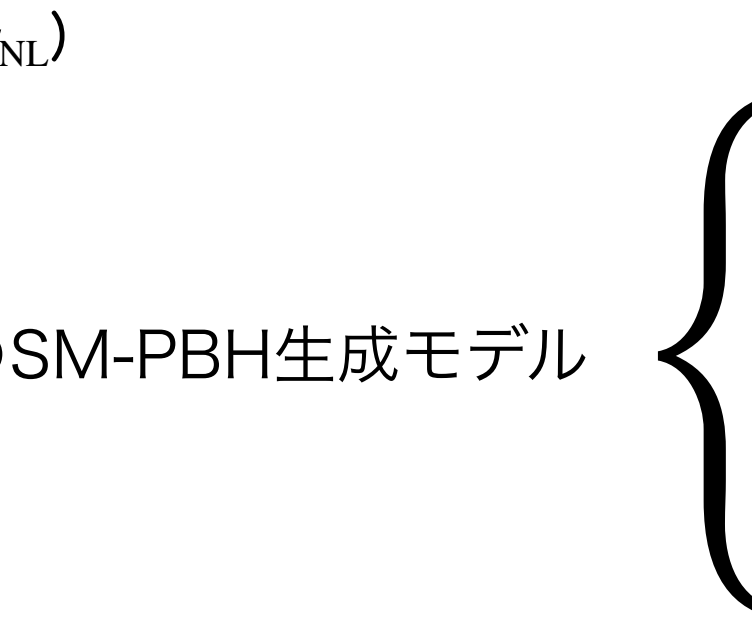
- spectator field(inflatonとは異なる軽い自由スカラー場)の導入
- superhorizonのspectator fieldがinflation中に確率的変動
- non-Gaussian曲率ゆらぎ  $\gtrsim \mathcal{O}(1)$  or  $\approx 0$  (大抵0)

踏襲する

- T. Nakama, T. Suyama and J. Yokoyama, 1609.02245
- F. Hasegawa & M. Kawasaki, 1711.0090
- M. Kawasaki & K. Murai, 1907.02273
- N. Kitajima, F. Takahashi, 2006.13137

⋮

highly non-Gaussianなら  
制限回避

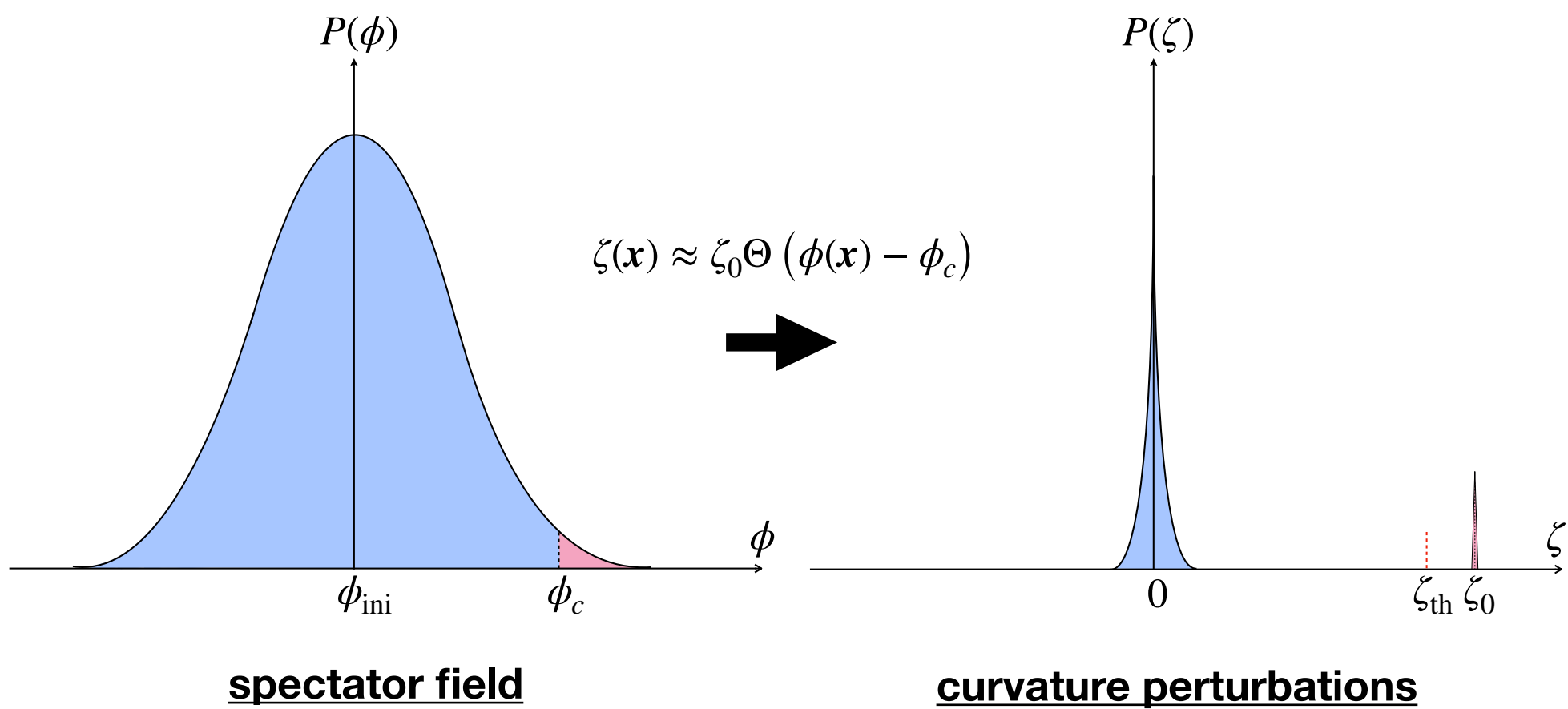


# Supermassive PBHs生成モデル

- non-Gaussian曲率ゆらぎ  $\gtrsim \mathcal{O}(1)$  or  $\approx 0$  (大抵0)

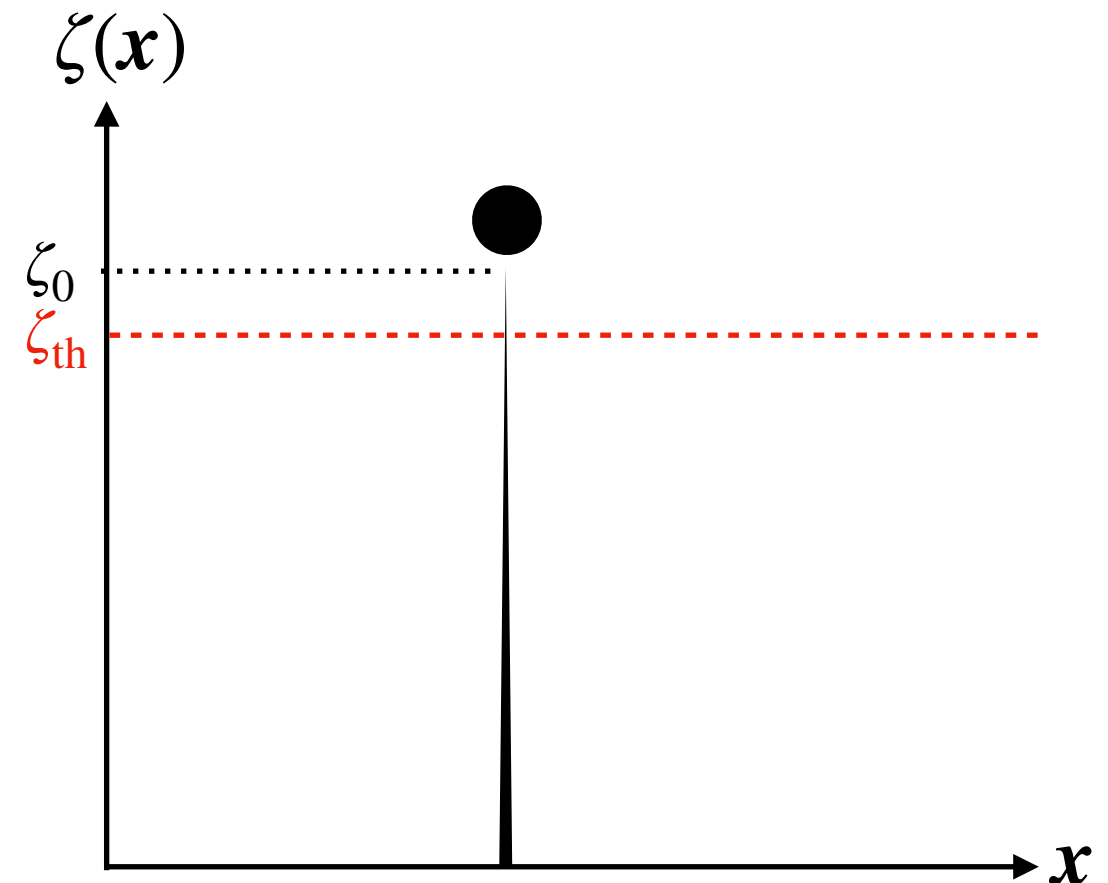
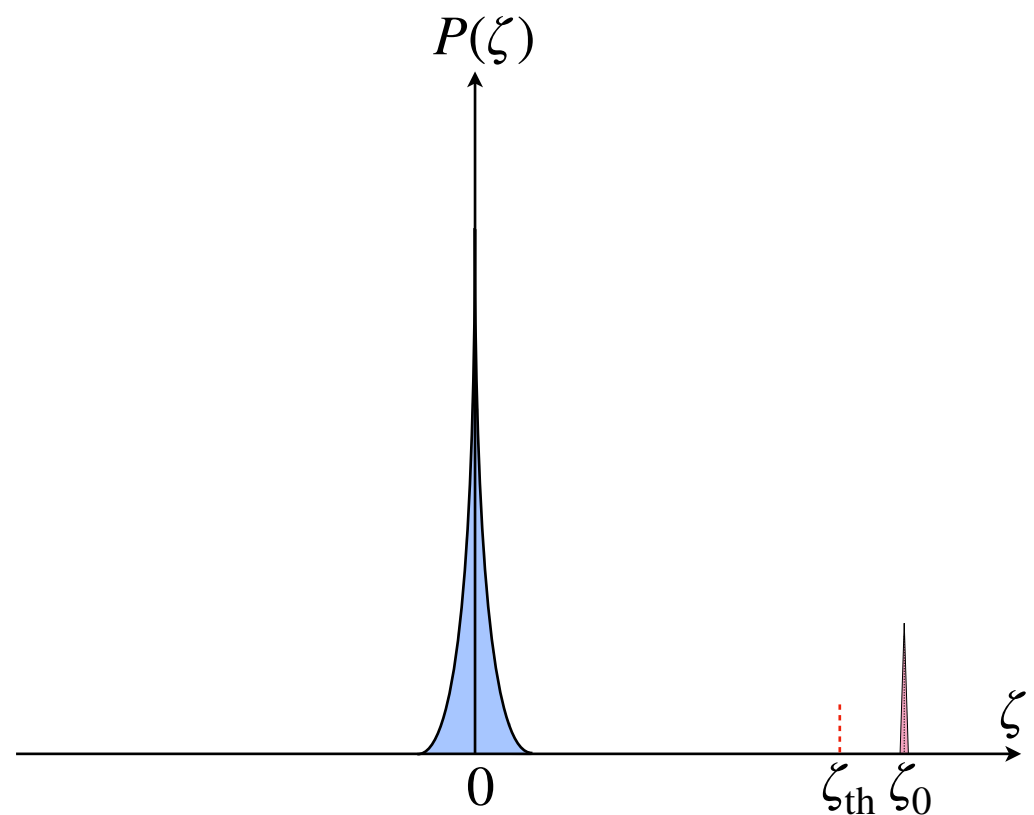
$$\zeta(x) \approx \boxed{\zeta_0} \Theta(\phi(x) - \phi_c) = \begin{cases} \zeta_0 & (\phi \geq \phi_c) \\ 0 & (\phi < \phi_c) \end{cases}$$

$\geq \zeta_{\text{th}}$



# Supermassive PBHs生成モデル

- non-Gaussian曲率ゆらぎ  $\gtrsim \mathcal{O}(1)$  or  $\approx 0$  (大抵0)



PBH形成が起きない領域:  $\zeta \approx 0 \rightarrow \mu$ の生成が抑制  $\rightarrow$  制限回避！

# Supermassive PBHs生成モデル

- Gaussian曲率ゆらぎがダメなら…

→ non-Gaussian曲率ゆらぎ

(e. g.,  $f_{\text{NL}}$ ,  $g_{\text{NL}}$ ,  $\tau_{\text{NL}}$ )

既存のSM-PBH生成モデル

共通する特徴

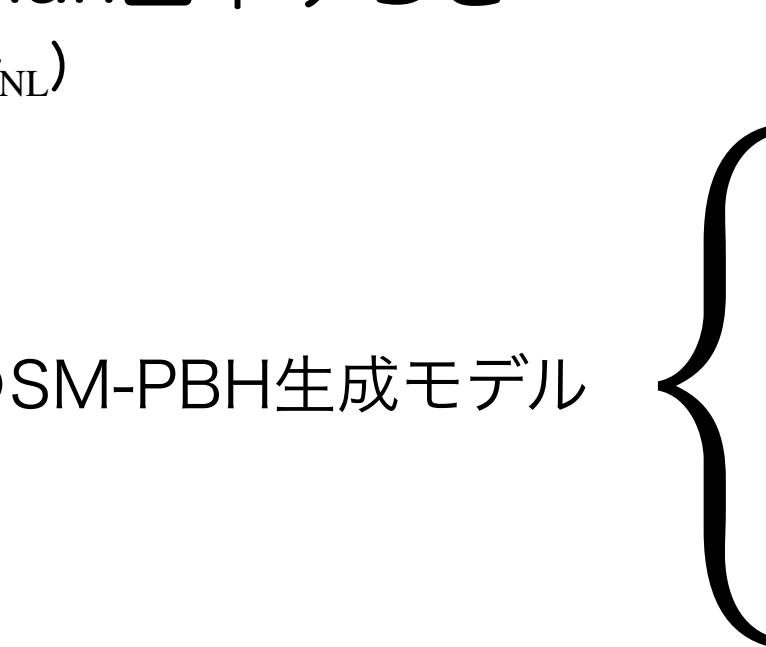
- spectator field(inflatonとは異なる軽い自由スカラー場)の導入
- superhorizonのspectator fieldがinflation中に確率的変動
- non-Gaussian曲率ゆらぎ  $\gtrsim \mathcal{O}(1)$  or  $\approx 0$  (大抵0)

踏襲する

- T. Nakama, T. Suyama and J. Yokoyama, 1609.02245
- F. Hasegawa & M. Kawasaki, 1711.0090
- M. Kawasaki & K. Murai, 1907.02273
- N. Kitajima, F. Takahashi, 2006.13137

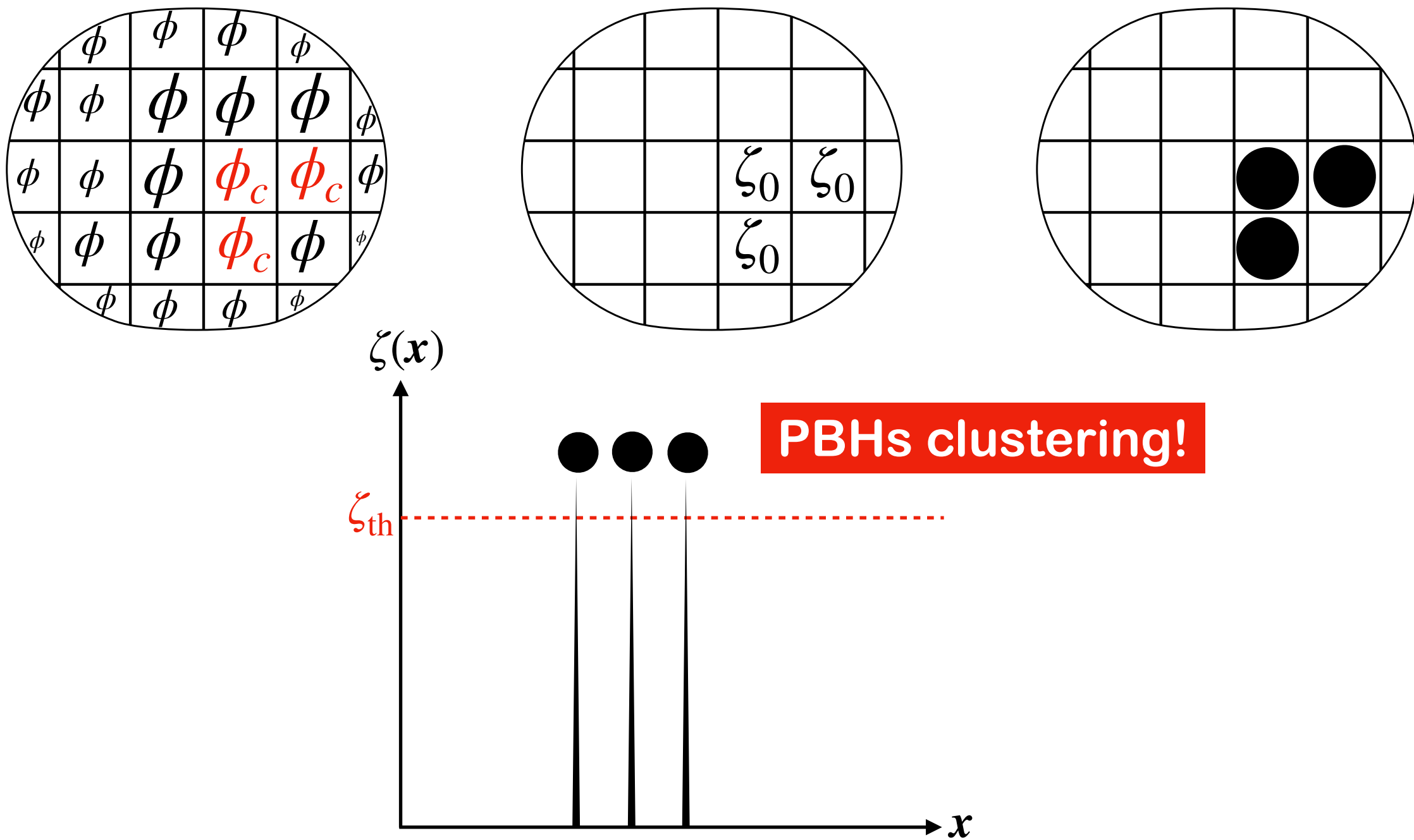
:

highly non-Gaussianなら  
制限回避



# Supermassive PBHs生成モデル

$$\xi_\phi(r) \equiv \left\langle (\phi(t_{\text{end}}, \mathbf{x}_1) - \phi(t_{\text{ini}}, \mathbf{x}_1)) (\phi(t_{\text{end}}, \mathbf{x}_2) - \phi(t_{\text{ini}}, \mathbf{x}_2)) \right\rangle > 0$$



# Supermassive PBHs生成モデル

- ・流れ

1. 興味 → 高赤方偏移のSMBH
2. PBH質量 →  $10^4 M_{\odot} \lesssim M_{\text{PBH}} \lesssim 10^{10} M_{\odot}$
3. 観測制限 → CMBスペクトルの $\mu$ -distortion
4. モデル設定 → non-Gaussian曲率ゆらぎ生成
5. 解析 → クラスタリング性を評価 by 2点相関関数

# PBHの2点相関関数

## spectator fieldの2点相関関数

$$\xi_\phi(r) \equiv \left\langle (\phi(t_{\text{end}}, \mathbf{x}_1) - \phi(t_{\text{ini}}, \mathbf{x}_1)) (\phi(t_{\text{end}}, \mathbf{x}_2) - \phi(t_{\text{ini}}, \mathbf{x}_2)) \right\rangle = \int_{k_{\min}}^{k_{\max}} \frac{dk}{k} \frac{\sin(kr)}{kr} \mathcal{P}_\phi(k)$$

**cut-off**

## spectator fieldの無次元パワースペクトル

$$\mathcal{P}_\phi(k) \equiv \frac{k^3}{2\pi^2} P_\phi(k) = \left( \frac{H_I}{2\pi} \right)^2 \left( \frac{k}{k_{\text{end}}} \right)^{c_I}, \quad c_I \equiv \frac{2m^2}{3H_I^2}, \quad 0 \leq c_I \ll \frac{2}{3}$$

( horizon scale at  $t_{\text{end}}$  .....  $k_{\text{end}} = a_{\text{end}} H_I$  ) (スカラー場の軽さ)

## spectator fieldのvariance

$$\sigma_\phi^2 = \left( \frac{H_I}{2\pi} \right)^2 \int_{k_{\min}}^{k_{\max}} \frac{dk}{k} \left( \frac{k}{k_{\text{end}}} \right)^{c_I} = c_I^{-1} \left( \frac{H_I}{2\pi} \right)^2 \left[ \left( \frac{k_{\max}}{k_{\text{end}}} \right)^{c_I} - \left( \frac{k_{\min}}{k_{\text{end}}} \right)^{c_I} \right]$$

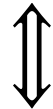
# PBHの2点相関関数

- $k_{\min}, k_{\max}$ ?

(興味あるクラスタリングの最大スケール)

(PBH形成に寄与するモード)

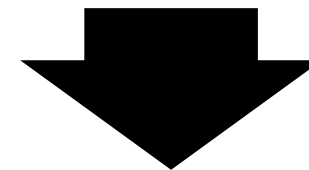
observable Universe  $< k <$  supermassive PBH scale



$$k_{\min} = H_0$$



$$k_{\max}(M_{\text{PBH}}) \approx 1.3 \times 10^4 \left( \frac{g^{*,f}}{10.75} \right)^{-1/12} \left( \frac{M_{\text{PBH}}}{10^4 M_{\odot}} \right)^{-1/2} \text{Mpc}^{-1}$$



$$\boxed{M_{\text{PBH}} = 10^{10} M_{\odot} \longleftrightarrow k_{\max} = 10 \text{ Mpc}^{-1}}$$
$$M_{\text{PBH}} = 10^4 M_{\odot} \longleftrightarrow k_{\max} = 10^4 \text{ Mpc}^{-1}$$

# PBHの2点相関関数

## spectator fieldの2点相関関数

$$\xi_\phi(r) \equiv \left\langle (\phi(t_{\text{end}}, \mathbf{x}_1) - \phi(t_{\text{ini}}, \mathbf{x}_1)) (\phi(t_{\text{end}}, \mathbf{x}_2) - \phi(t_{\text{ini}}, \mathbf{x}_2)) \right\rangle = \int_{k_{\min}}^{k_{\max}} \frac{dk}{k} \frac{\sin(kr)}{kr} \mathcal{P}_\phi(k)$$

**cut-off**

## spectator fieldの無次元パワースペクトル

$$\mathcal{P}_\phi(k) \equiv \frac{k^3}{2\pi^2} P_\phi(k) = \left( \frac{H_I}{2\pi} \right)^2 \left( \frac{k}{k_{\text{end}}} \right)^{c_I}, \quad c_I \equiv \frac{2m^2}{3H_I^2}, \quad 0 \leq c_I \ll \frac{2}{3}$$

( horizon scale at  $t_{\text{end}}$  .....  $k_{\text{end}} = a_{\text{end}} H_I$  ) (スカラー場の軽さ)

## spectator fieldのvariance

$$\sigma_\phi^2 = \left( \frac{H_I}{2\pi} \right)^2 \int_{k_{\min}}^{k_{\max}} \frac{dk}{k} \left( \frac{k}{k_{\text{end}}} \right)^{c_I} = c_I^{-1} \left( \frac{H_I}{2\pi} \right)^2 \left[ \left( \frac{k_{\max}}{k_{\text{end}}} \right)^{c_I} - \left( \frac{k_{\min}}{k_{\text{end}}} \right)^{c_I} \right]$$

# PBHの2点相関関数

## spectator fieldの2点相関関数

$$\xi_\phi(r) \equiv \left\langle (\phi(t_{\text{end}}, \mathbf{x}_1) - \phi(t_{\text{ini}}, \mathbf{x}_1)) (\phi(t_{\text{end}}, \mathbf{x}_2) - \phi(t_{\text{ini}}, \mathbf{x}_2)) \right\rangle = \int_{k_{\min}}^{k_{\max}} \frac{dk}{k} \frac{\sin(kr)}{kr} \mathcal{P}_\phi(k)$$

cut-off

## spectator fieldの無次元パワースペクトル

$$\mathcal{P}_\phi(k) \equiv \frac{k^3}{2\pi^2} P_\phi(k) = \left( \frac{H_I}{2\pi} \right)^2 \left( \frac{k}{k_{\text{end}}} \right)^{c_I}, \quad c_I \equiv \frac{2m^2}{3H_I^2}, \quad 0 \leq c_I \ll \frac{2}{3}$$

( horizon scale at  $t_{\text{end}}$  .....  $k_{\text{end}} = a_{\text{end}} H_I$  ) (スカラー場の軽さ)

## spectator fieldのvariance

$$\sigma_\phi^2 = \left( \frac{H_I}{2\pi} \right)^2 \int_{k_{\min}}^{k_{\max}} \frac{dk}{k} \left( \frac{k}{k_{\text{end}}} \right)^{c_I} = c_I^{-1} \left( \frac{H_I}{2\pi} \right)^2 \left[ \left( \frac{k_{\max}}{k_{\text{end}}} \right)^{c_I} - \left( \frac{k_{\min}}{k_{\text{end}}} \right)^{c_I} \right]$$

$$\epsilon(r) \equiv \frac{\xi_\phi(r)}{\sigma_\phi^2} = \frac{c_I}{(k_{\max})^{c_I} - (k_{\min})^{c_I}} \int_{k_{\min}}^{k_{\max}} \frac{dk}{k} k^{c_I} \frac{\sin(kr)}{kr} \leq 1$$

# PBHの2点相関関数

- PBHの2点相関関数の定義

$$\xi_{\text{PBH}}(|x_1 - x_2|) \equiv \frac{P_2(x_1, x_2)}{P_1^2(x)} - 1$$

= クラスタリングを判定する量！       $r \equiv |x_1 - x_2|$

- $\xi_{\text{PBH}}(r) > 0$       ……  $r$  のスケールで **クラスタリング**
- $\xi_{\text{PBH}}(r) = 0$       ……  $r$  のスケールで **一様分布**
- $-1 \leq \xi_{\text{PBH}}(r) < 0$       ……  $r$  のスケールでは **ボイド領域**

# PBHの2点相関関数

- PBHの2点相関関数の導出

(PBH formation is a very very rare event :  $\phi_c \gg \sigma_\phi$  )

$$P_1(x) = \int [D\phi] P[\phi] \int_{\phi_c}^{\infty} d\alpha \delta_D(\phi(x) - \alpha) \stackrel{\nu \gg 1}{\approx} \frac{e^{-\nu^2/2}}{\sqrt{2\pi} \nu}$$

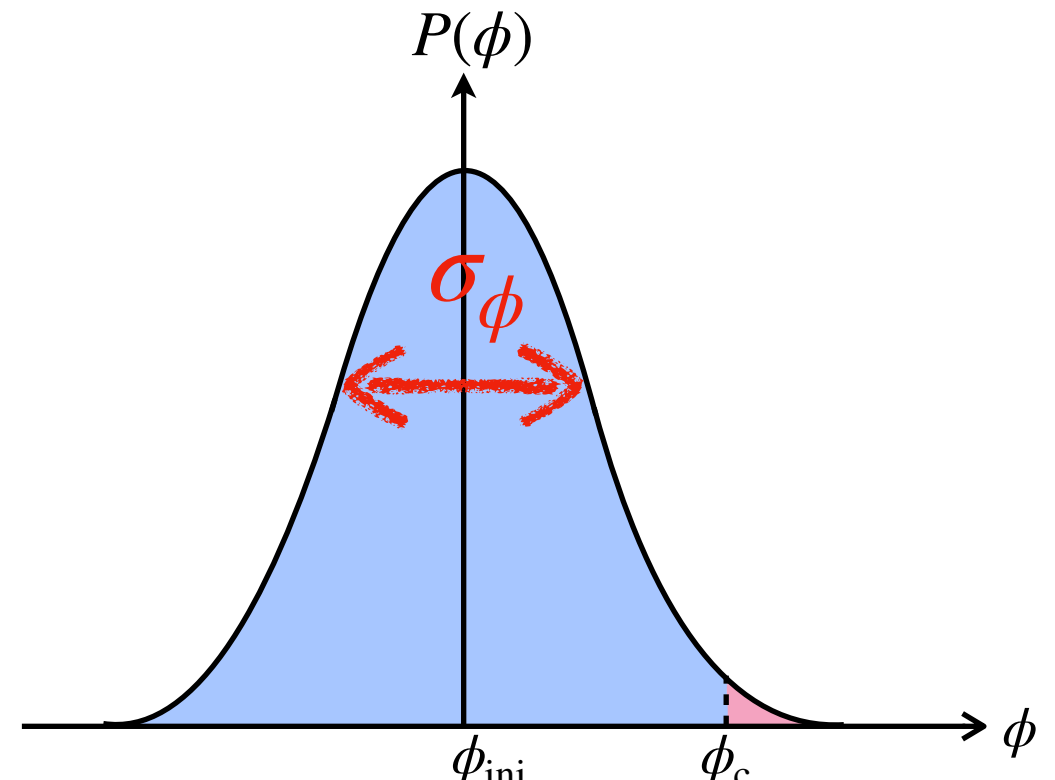
↑  
**Gaussian PDF**  
↓

$$P_2(x_1, x_2) = \int [D\phi] P[\phi] \int_{\phi_c}^{\infty} d\alpha_1 \delta_D(\phi(x_1) - \alpha_1) \int_{\phi_c}^{\infty} d\alpha_2 \delta_D(\phi(x_2) - \alpha_2)$$

$$\approx \frac{1}{2\pi\nu^2} \frac{(1 + \epsilon(r))^{\frac{3}{2}}}{\sqrt{1 - \epsilon(r)}} \exp\left(-\frac{\nu^2}{1 + \epsilon(r)}\right)$$

Where

$$\nu \equiv \frac{\phi_c}{\sigma_\phi}, \quad \epsilon(r) \equiv \frac{\xi_\phi(r)}{\sigma_\phi^2} \leq 1$$



# PBHの2点相関関数

- PBHの2点相関関数の導出

$$\xi_{\text{PBH}}(|x_1 - x_2|) \equiv \frac{P_2(x_1, x_2)}{P_1^2(x)} - 1$$
$$P_2(x_1, x_2) \stackrel{\nu \gg 1}{\approx} \frac{1}{2\pi\nu^2} \frac{(1 + \epsilon(r))^{\frac{3}{2}}}{\sqrt{1 - \epsilon(r)}} \exp\left(-\frac{\nu^2}{1 + \epsilon(r)}\right)$$
$$P_1(x) \stackrel{\nu \gg 1}{\approx} \frac{e^{-\nu^2/2}}{\sqrt{2\pi} \nu}$$

$$\therefore \xi_{\text{PBH}}(r) \approx \frac{(1 + \epsilon(r))^{3/2}}{\sqrt{1 - \epsilon(r)}} \exp\left(\frac{\boxed{\nu^2}\epsilon(r)}{1 + \epsilon(r)}\right) - 1$$

→ highly non-Gaussian 由来の非常にレアなobjectに対して一般的に成り立つ

→  $\nu$ に指数関数的に依存: 必然的に高度なクラスタリングが起こる

# PBHの2点相関関数

- $\nu \equiv \frac{\phi_c}{\sigma_\phi}$  ?

$$\Rightarrow \text{(Energy fraction of PBHs)} = \text{(One-point probability of PBHs)}$$
$$\beta(M_{\text{PBH}}) \equiv \left. \frac{\rho_{\text{PBH}}}{\rho_{\text{total}}} \right|_{\text{formation}} \sim 10^{-22} \left( \frac{g_{*,f}}{10.75} \right)^{1/4} \left( \frac{M_{\text{PBH}}}{10^4 M_\odot} \right)^{3/2} \left( \frac{\bar{n}_{\text{PBH}}}{\text{Gpc}^{-3}} \right),$$

(at formation time) 観測量

$$P_1(x) \stackrel{\nu \gg 1}{\approx} \frac{e^{-\nu^2/2}}{\sqrt{2\pi} \nu}$$

仮定: (形成時のPBHs) = (high-zで観測されてる全てのSMBH)

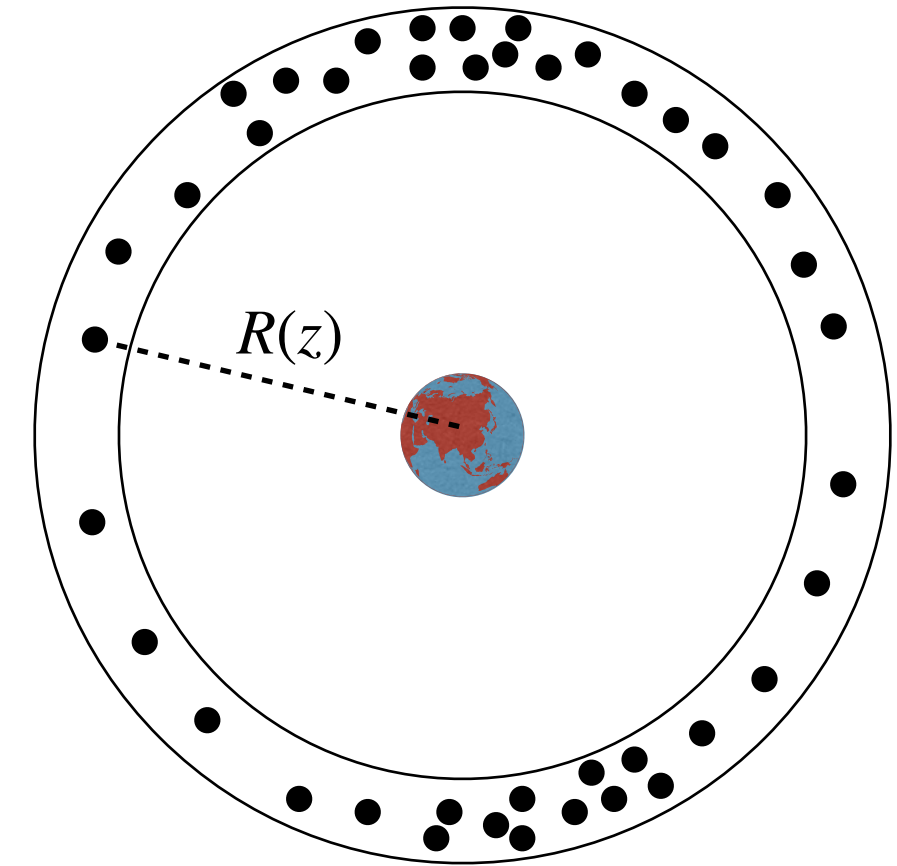
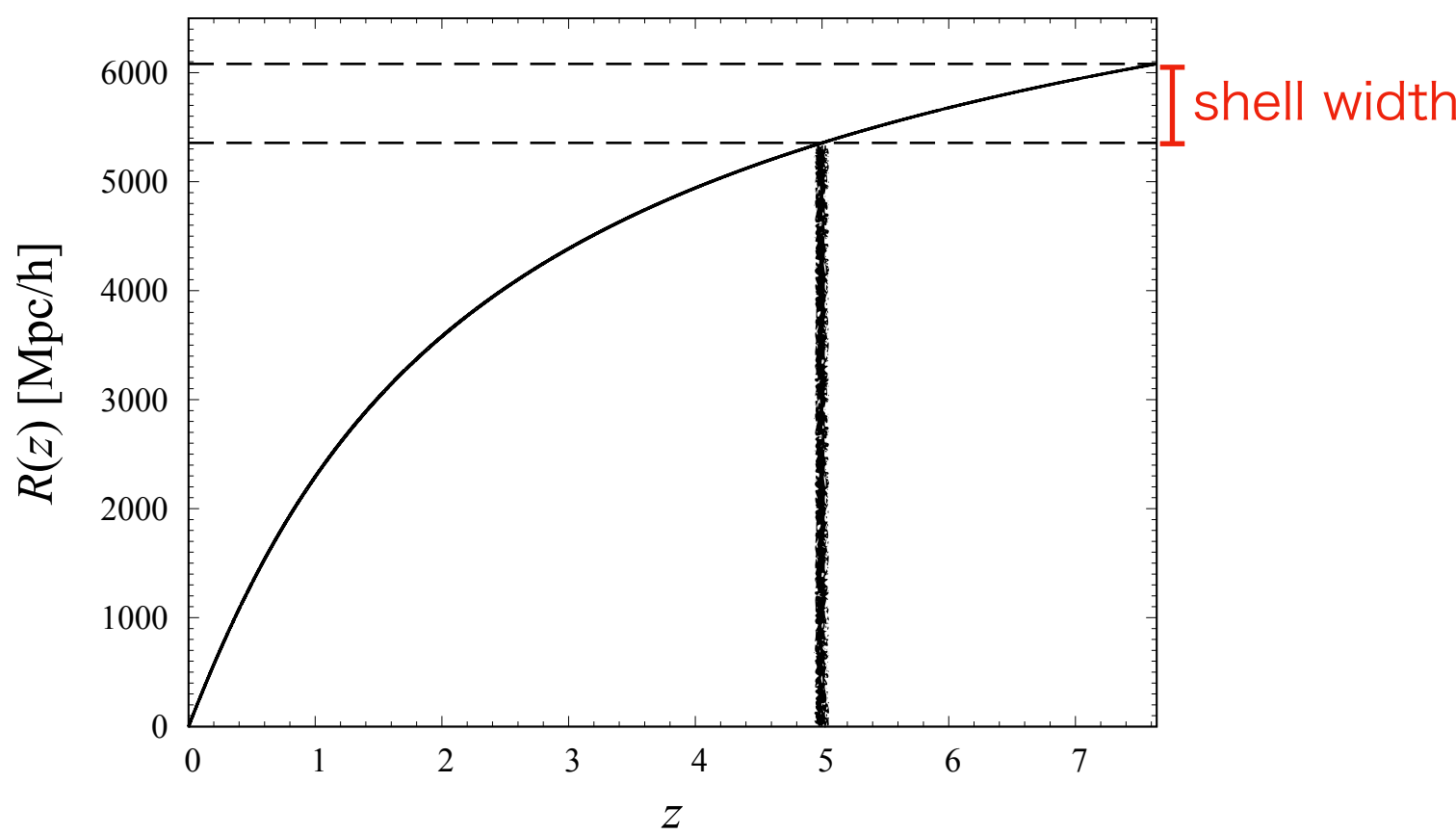
$$M_{\text{PBH}} = 10^{10} M_\odot \longleftrightarrow \beta = 10^{-13} \longleftrightarrow \nu = 7.4$$

$$M_{\text{PBH}} = 10^4 M_\odot \longleftrightarrow \beta = 10^{-22} \longleftrightarrow \nu = 9.7$$

# PBHの角度相関関数

# 興味あるSMBHは薄い球殼内で分布 ( $z = 5 - 7.642$ )

(in the comoving coordinates)



$$\xi_{\text{PBH}}(z_1, z_2, \theta) \mapsto w_{\text{PBH}}(\theta)$$

(in 3D space)

(on celestial plane)

## ..... 角度相關函數

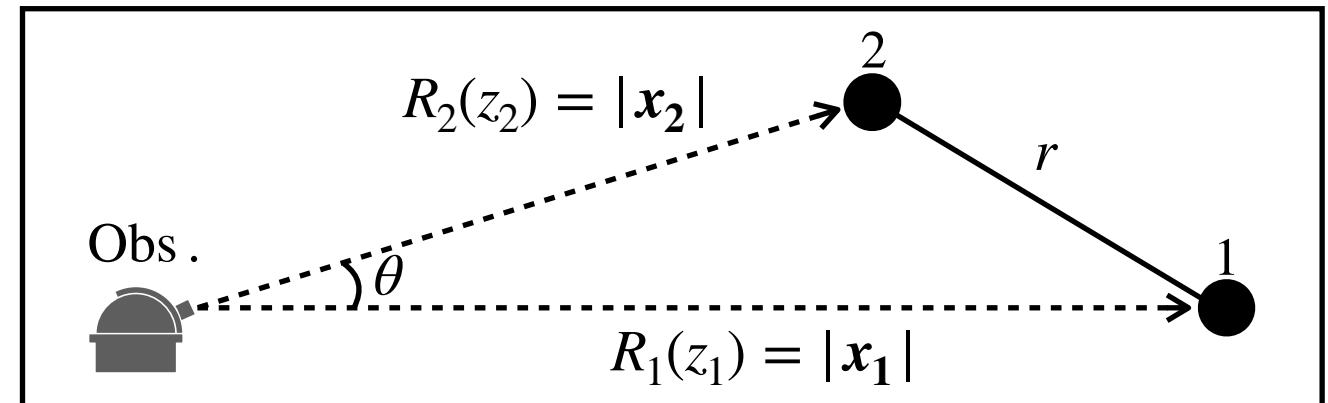
# PBHの角度相関関数

window function depending on redshift of interest

$$w_{\text{PBH}}(\theta) = \int_0^\infty dR_1 \int_0^\infty dR_2 g(R_1) g(R_2) W(R_1) W(R_2) \xi_{\text{PBH}}(R_1, R_2, \theta)$$

Weight function for line of sight

$$g(R) \equiv \frac{R^2}{\int_0^\infty dR' W(R') R'^2}$$



Comoving distance to SMBHs for  $\Lambda$ CDM

$$R_i(z_i) = \int_0^{z_i} \frac{dz}{H(z)} = \int_0^{z_i} \frac{dz}{H_0 \sqrt{\Omega_r(1+z)^4 + \Omega_m(1+z)^3 + \Omega_\Lambda}}$$

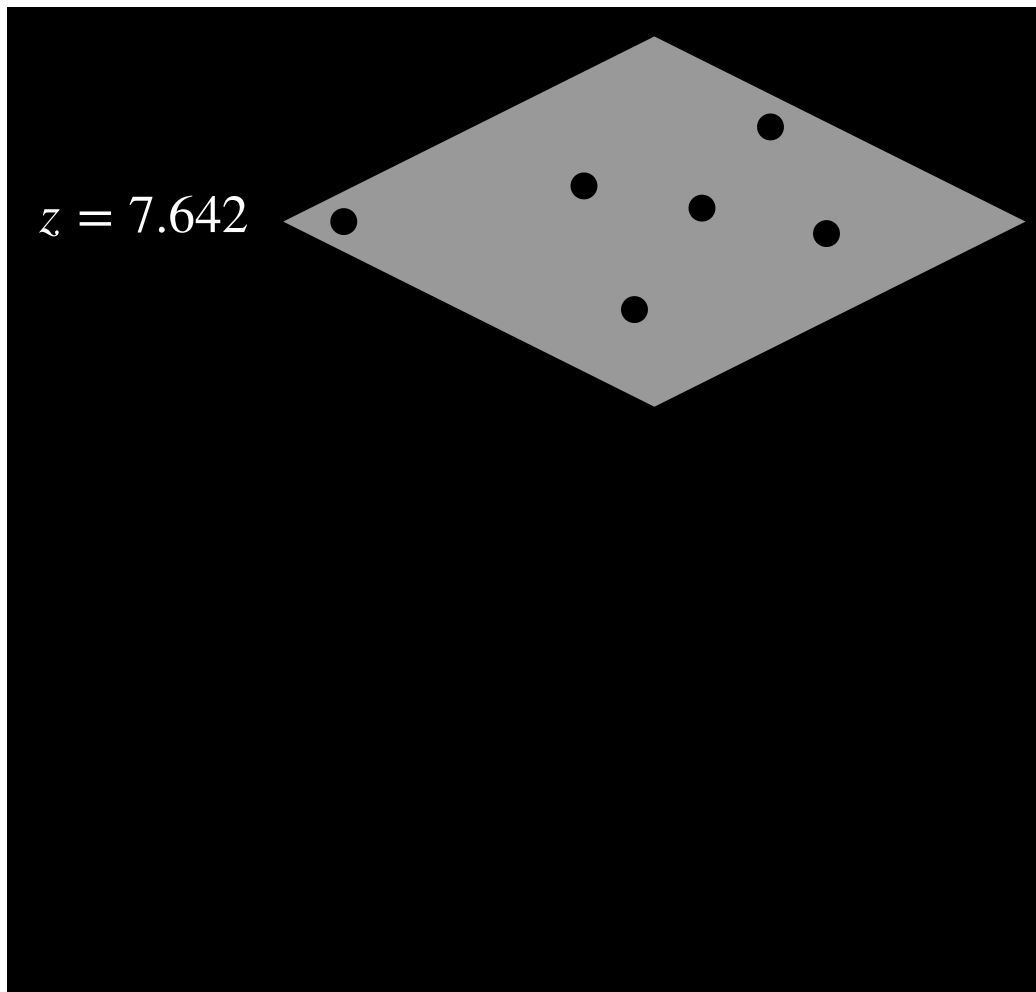
# PBHの角度相関関数

- Two types of window function

**Delta function type**

※ simple case

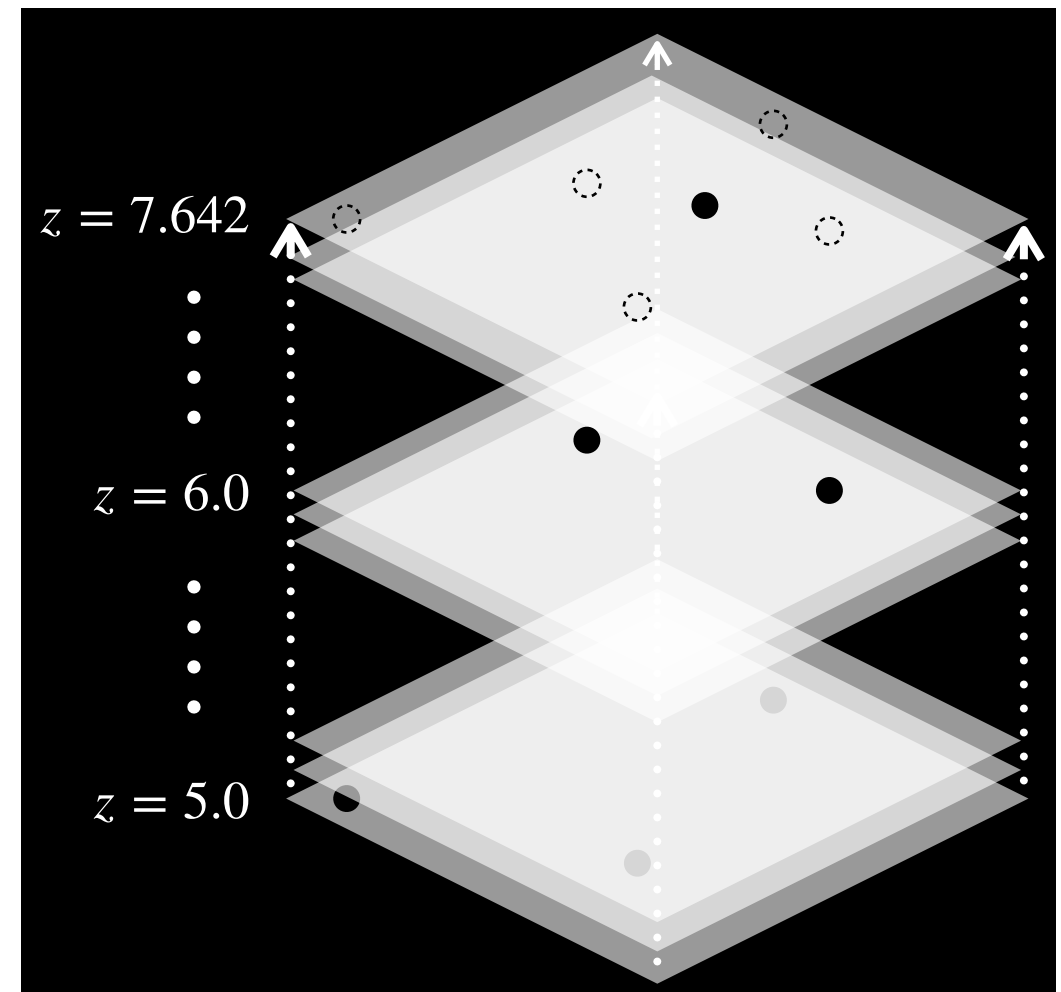
$$W(z_i) = \delta_D(z_i - z)$$



**Top-hat type**

※ realistic case

$$W(z_i) = \begin{cases} 1 & (z_{\text{low}} \leq z \leq z_{\text{high}}) \\ 0 & (\text{others}) \end{cases}$$



# PBHの角度相関関数

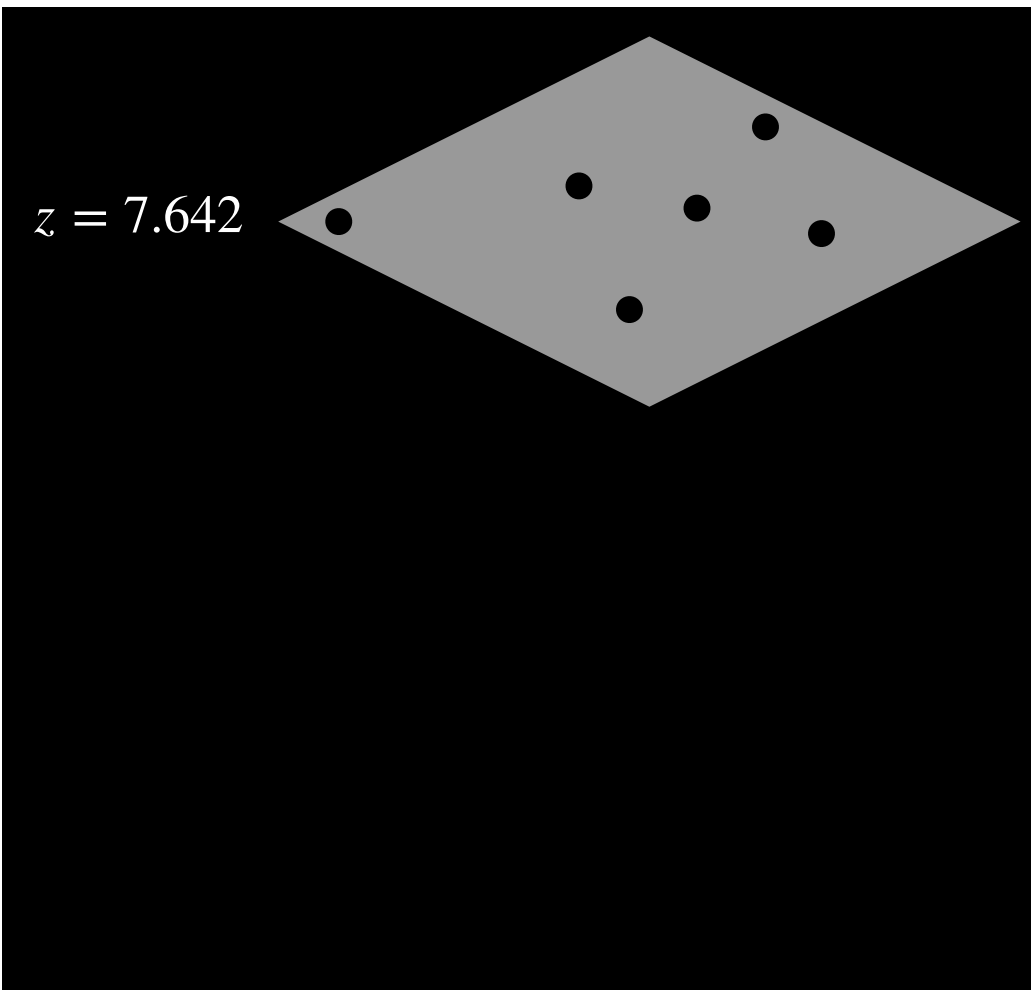
- PBH angular correlation function

**Delta function type**

※ simple case

$$w_{\text{PBH}}(\theta) = \xi_{\text{PBH}}(r_*) = \xi_{\text{PBH}}(R_*, \theta)$$

$$r_* = 2R_* \sin\left(\frac{\theta}{2}\right)$$



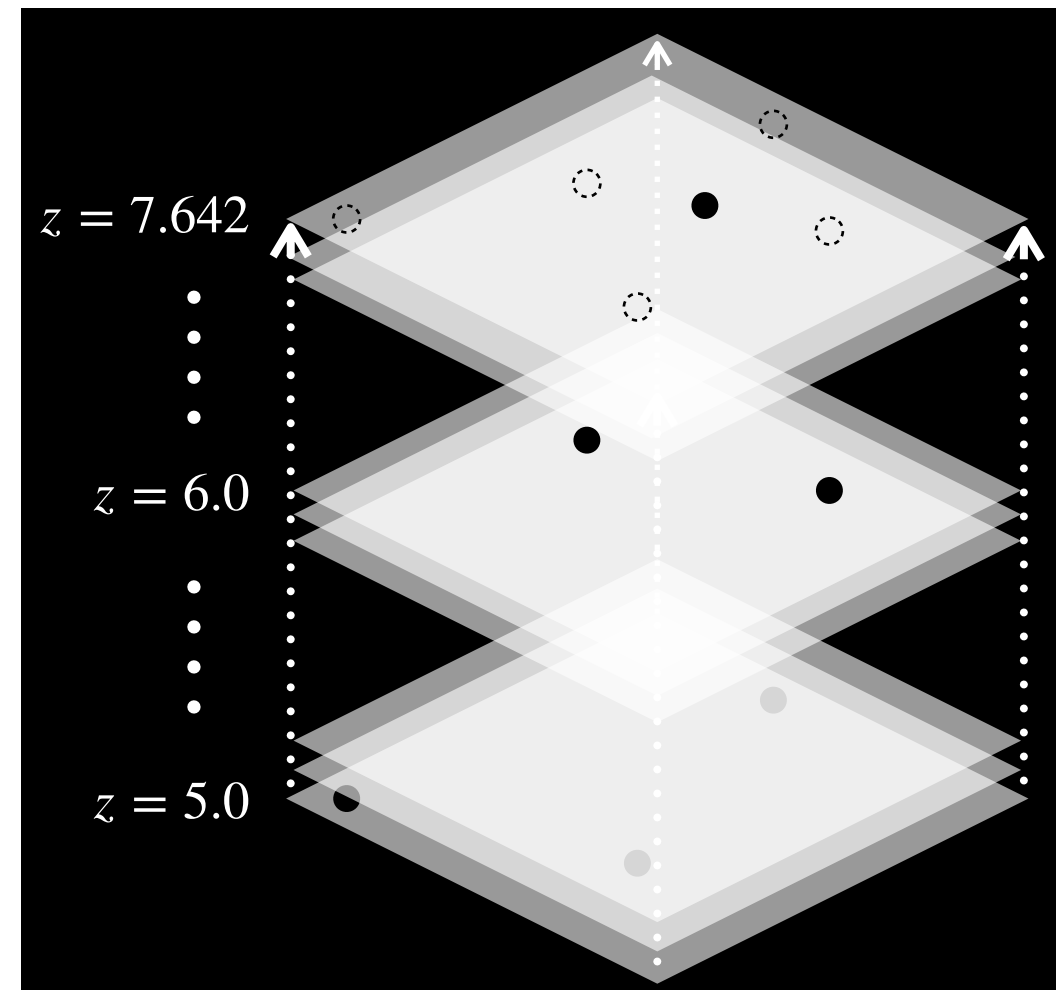
**Top-hat type**

※ realistic case

$$w_{\text{PBH}}(\theta) = \int_{R_{\text{low}}}^{R_{\text{high}}} dR_1 \int_{R_{\text{low}}}^{R_{\text{high}}} dR_2 g(R_1) g(R_2) \xi_{\text{PBH}}(R_1, R_2, \theta)$$

$$g(R) \equiv \frac{3R^2}{R_{\text{high}}^3 - R_{\text{low}}^3},$$

$$R_i = R_i(z_i)$$



- PBH two-point correlation function

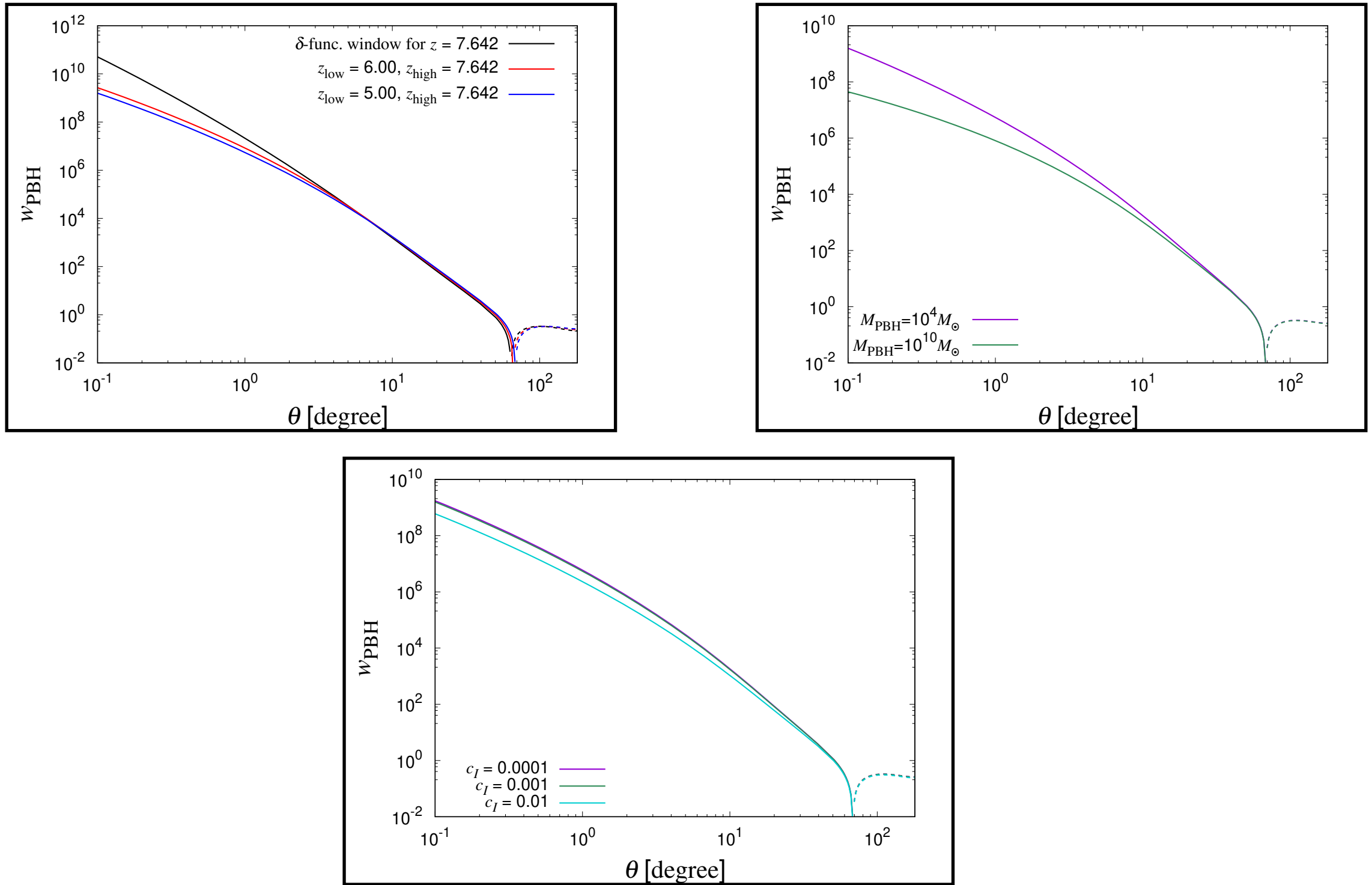
$$\xi_{\text{PBH}}(r) \approx \frac{(1 + \epsilon(r))^{3/2}}{\sqrt{1 - \epsilon(r)}} \exp\left(\frac{\nu^2 \epsilon(r)}{1 + \epsilon(r)}\right) - 1, \quad \epsilon(r) \equiv \frac{\xi_\phi(r)}{\sigma_\phi^2} = \frac{c_I}{(k_{\max})^{c_I} - (k_{\min})^{c_I}} \int_{k_{\min}}^{k_{\max}} \frac{dk}{k} k^{c_I} \frac{\sin(kr)}{kr}$$

$$k_{\min} = H_0$$

$$M_{\text{PBH}} = 10^{10} M_\odot \longleftrightarrow k_{\max} = 10 \text{ Mpc}^{-1} \longleftrightarrow \nu = 7.4$$

$$M_{\text{PBH}} = 10^4 M_\odot \longleftrightarrow k_{\max} = 10^4 \text{ Mpc}^{-1} \longleftrightarrow \nu = 9.7$$

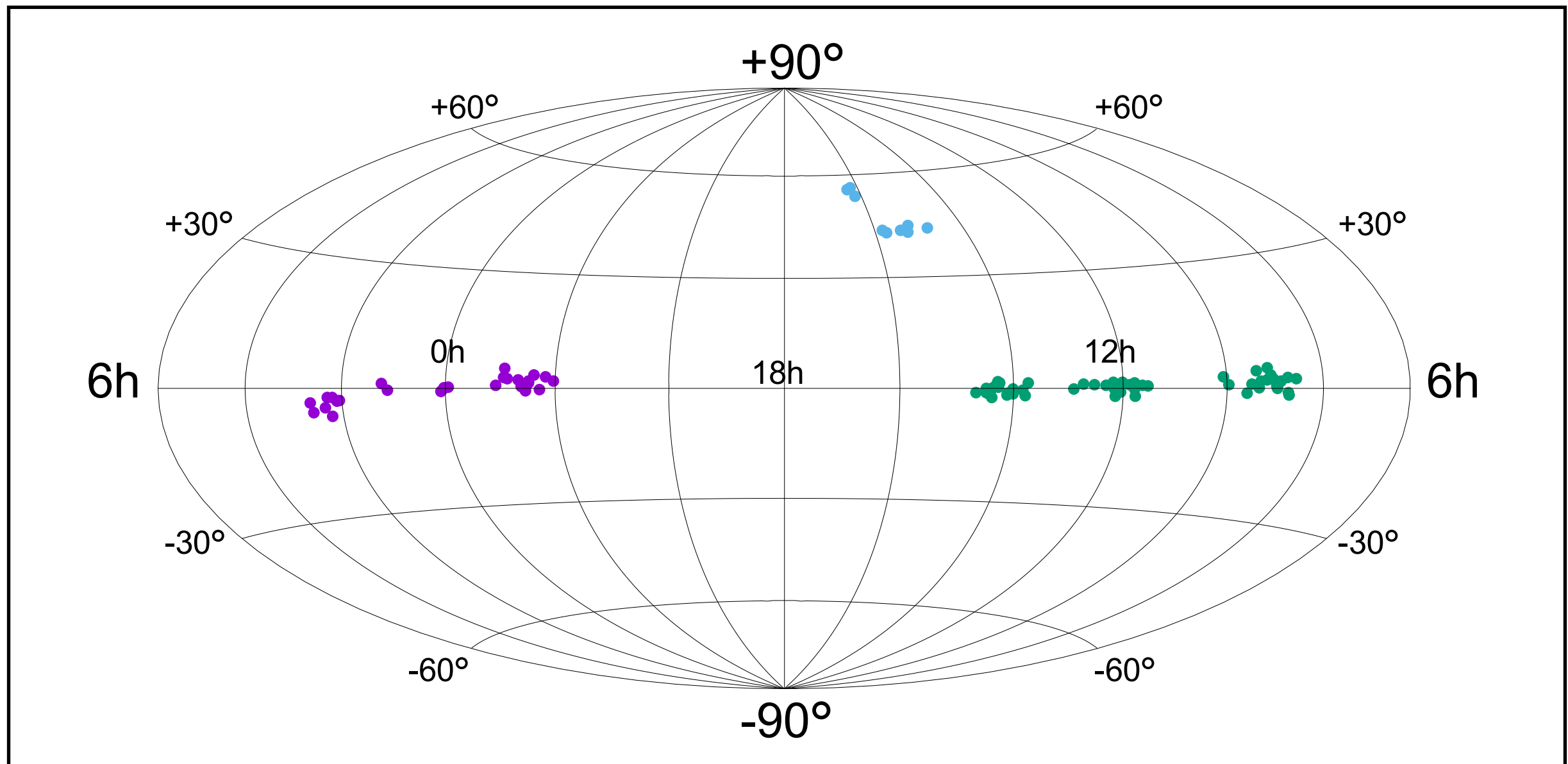
# 結果



Very highly clustering property is  
almost independent of free parameters!

★ 今後の展望

Quasars at  $6 \lesssim z \lesssim 7$  by Hyper Supreme Cam (HSC)



Y. Matsuoka, et al, 1603.02281, 1704.05854, 1803.01861, 1908.07910

Prediction vs Observation !!

# まとめ

PBHはhigh-zのSMBHを  
原理的に説明可能

$\mu$ -distortionからの制限

- Gaussianゆらぎ起源禁止
- non-GaussianゆらぎOK
- クラスタリングが起きる

クラスタリング性を  
角度相関関数で定量解析

→ 極めて高度にクラスタリング

vs 観測データ

→ SM-PBHモデルをテスト!!